

ANEXO 1

Información genética de la línea HLA91-MiPS4F3. Haplotipo HLA.
Genetic information of the HLA91-MiPS4F3 line. HLA haplotype.

HLA A29 B44 C16 DR7 DQ2 DP11

ANEXO 2

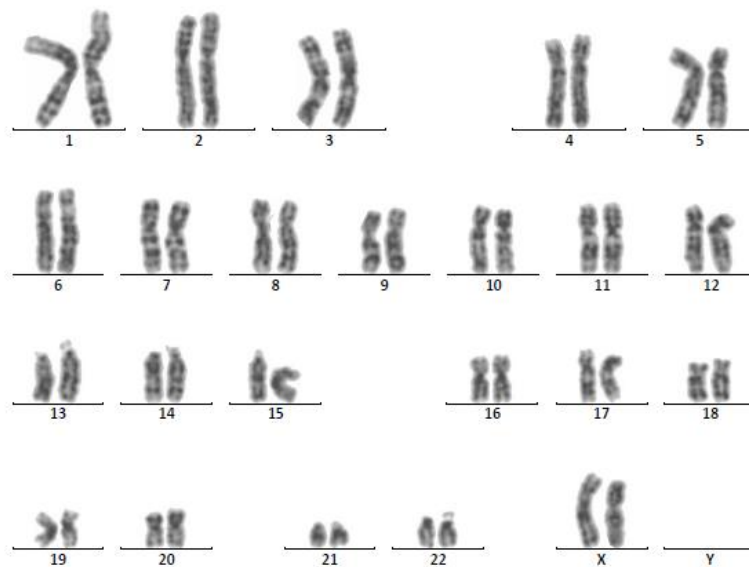
Cariotipo/bandeo G

Caryotype/ G-banding

Trabajo realizado por el Biobanco de SSPA, nodo de Granada.

Diagnóstico citogenético: Línea celular compatible con un cariotipo femenino normal.

Results provided by SSPA Biobank of Granada. Cytogenetic diagnostic: Cell line compatible with a normal female karyotype.



Cariotipo: 46,XX

Diagnóstico citogenético: Línea celular compatible con cariotipo femenino normal

ANEXO 3
Análisis STR
Fingerprint analysis

Trabajo realizado en el Biobanco del SSPA, nodo de Granada, a partir de muestras de ADN genómico de la línea celular HLA91-MiPS4F3 y de las células primarias de una muestra de sangre.

*Results provided by the SSPA Biobank of Granada from genomic DNA sample from both primary cells (blood) and **HLA91-MiPS4F3***

DNA origin	TH01	D21S11	D5S818	D13S316	D7S820	D16S539	CSP1PO	AMEL	vWA	TPOX
donor #91 blood	9,3	30, 31	10, 13	8, 10	8, 11	13	10, 11	X, X	15, 18	8
HLA91- MiPS4F3	9,3	30, 31	10, 13	8, 10	8, 11	13	10, 11	X, X	15, 18	8

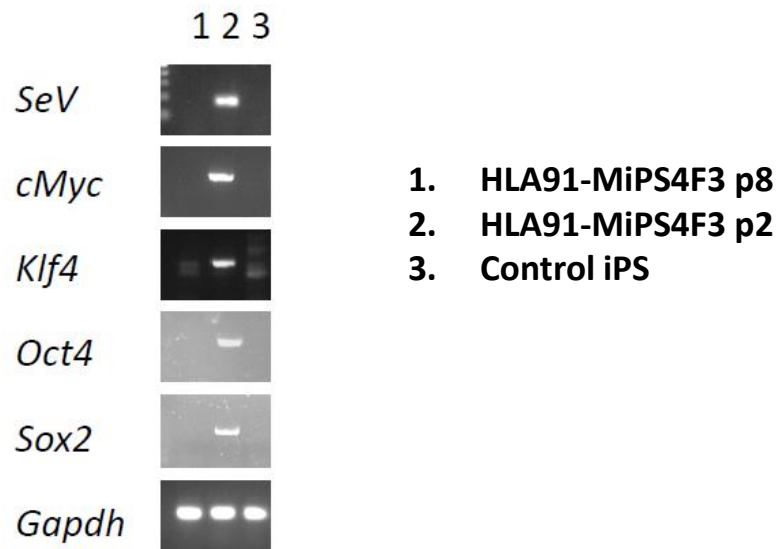
ANEXO 4

Análisis silenciamiento

Viral silencing analysis

rtPCR para detectar factores de reprogramación ectópicos y gen que codifica la cápsida del virus. Se muestra expresión de factores del virus en HLA91-MiPS4F3 en pase 2 (P2) como control positivo, y ausencia de expresión a pase 8 (P8). Como control negativo se muestran unas células iPS ya caracterizadas y sin expresión de factores del SeV.

rtPCR performed to detect ectopic reprogramming factors and gene encoding the virus capsid. Expression of viral factors is shown in HLA91-MiPS4F3 at passage 2 (P2) as positive control, and absence of expression at passage 8 (P8). As a negative control, iPS cells already characterized and without expression of SeV factors are shown.

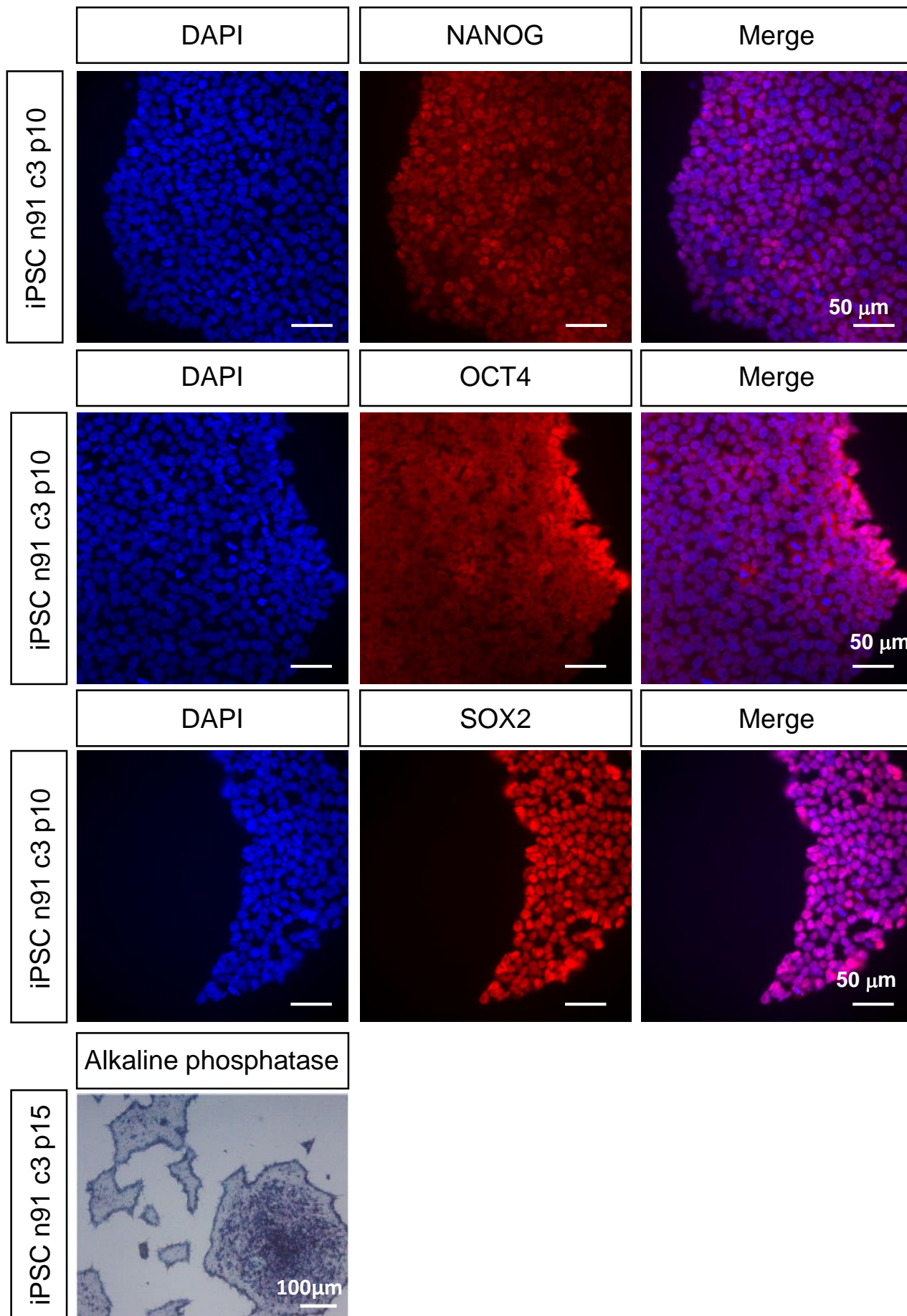


ANEXO 5

Inmunofluorescencia para marcadores de pluripotencia de expresión nuclear.

Anticuerpo específico en rojo, ADN marcado con DAPI, merge en violeta para la co-localización de ambos marcadores. Actividad fosfatasa alcalina en azul.

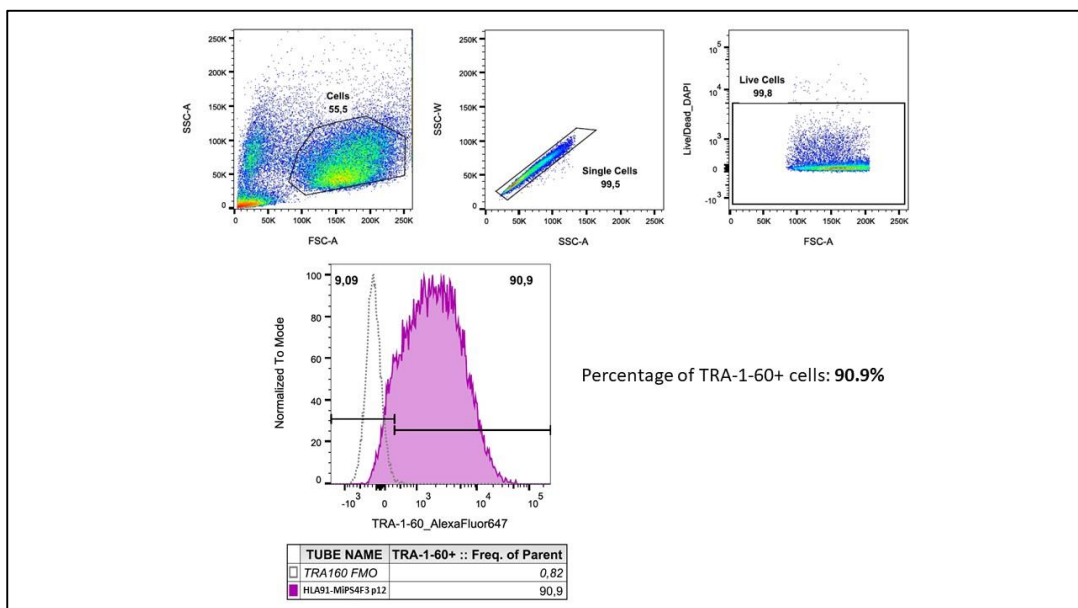
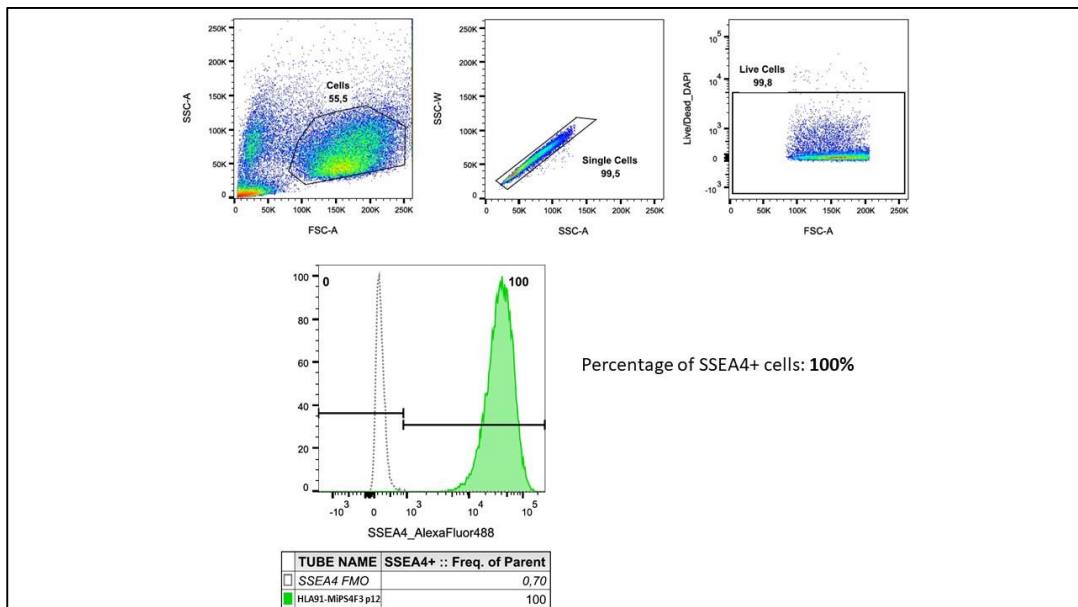
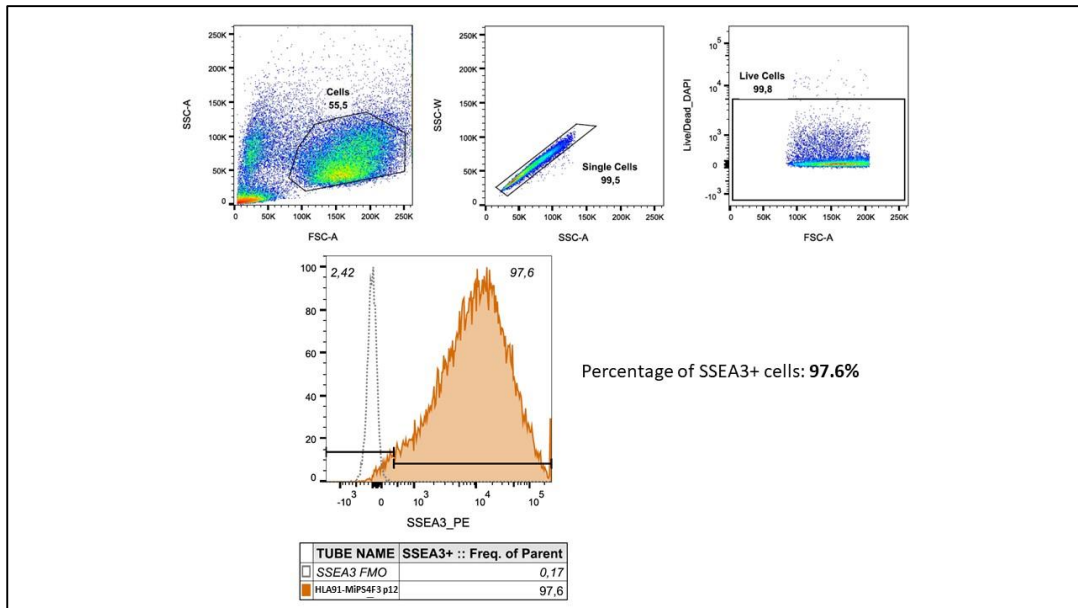
Immunofluorescence for pluripotency markers of nuclear expression. Specific antibody in red, DAPI-labeled DNA, merge in violet for co-localization of both markers. Alkaline phosphatase activity in blue.



ANEXO 6

Evaluación por citometría de flujo de marcadores de pluripotencia: SSEA3, SSEA4 y TRA-1-60

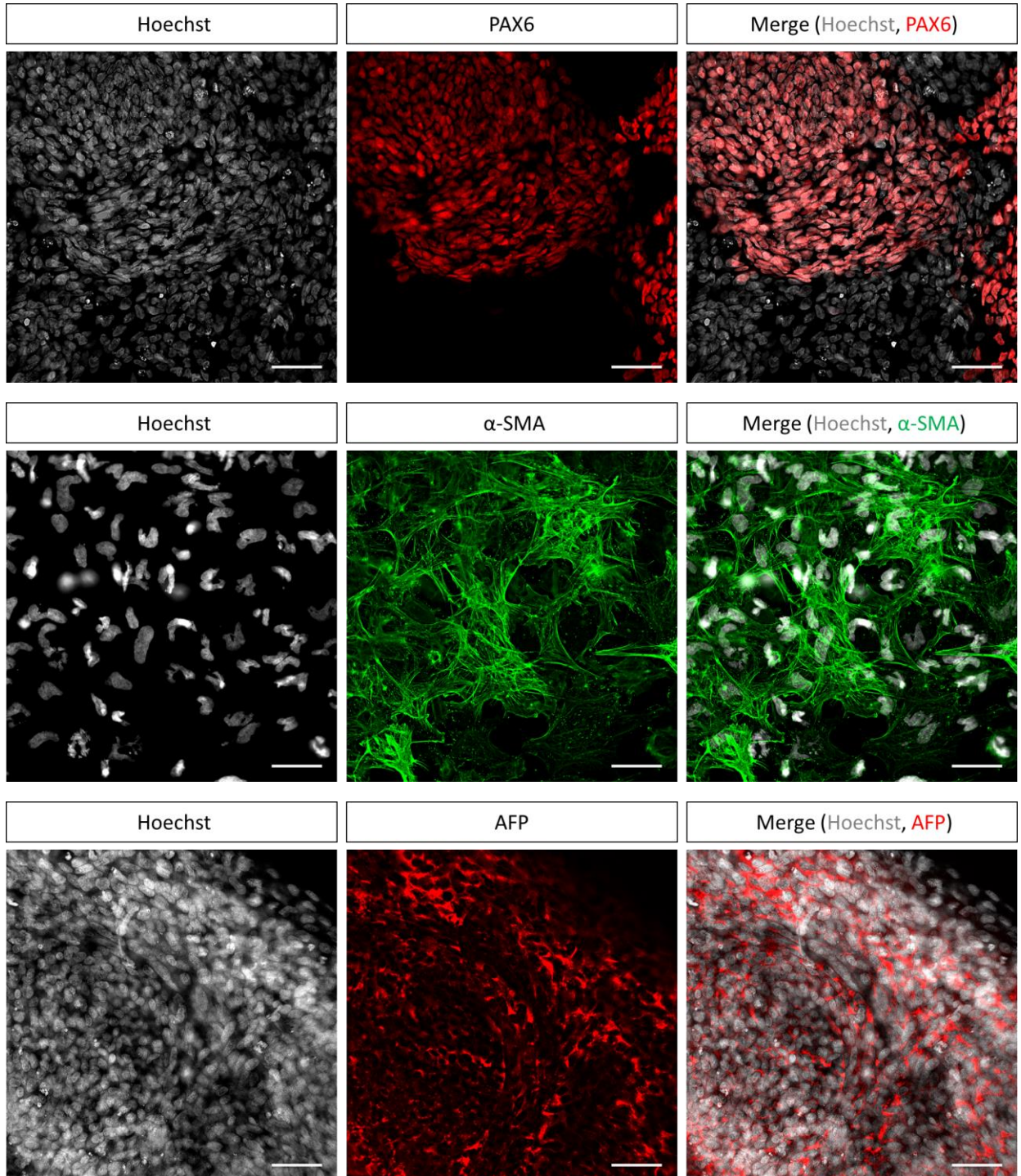
Flow cytometry evaluation of three pluripotency markers: SSEA3, SSEA4 y TRA-1-60



ANEXO 7

Diferenciación *in vitro*: inmunofluorescencia de marcadores de las tres capas embrionarias en cuerpos embrionarios: Endodermo, AFP, Alpha-fetoprotein; Ectodermo, PAX6, Paired box protein Pax-6; Mesodermo, SMA, smooth muscle actin.

In vitro differentiation: IF of markers of thre germ layers in embryoid bodies: endoderm, AFP, Alpha-fetoprotein; Ectoderm, PAX6, Paired box protein Pax-6; Mesoderm, SMA, smooth muscle actin.



ANEXO 8

Control Micoplasma

Detección de Micoplasma mediante Mycoalert Mycoplasma detection kit, Lonza.

Medidas de luminiscencia:

- **Ratio B/A > 1 = Micoplasma presente en el medio de cultivo**
- **Ratio B/A < 1 = No se detecta micoplasma**

Mycoplasma detection assay using Mycoalert Mycoplasma detection kit, Lonza.

Luminiscence data:

- *Ratio B/A > 1 = Mycoplasma detection in culture medium*
- *Ratio B/A < 1 = No Mycoplasma detection*

	Ratio B/A
HLA91-MiPS4F3	0,154
control positivo	13,564
control negativo	0,037